

## عنوان طراحی کنترل کننده برای سیستم هدایت موتور محرک یک آسانسور خطی بدون کابل با استفاده از روش کنترل مدل لغزشی

\***زهرا سرافرازی<sup>۱</sup>، حسن علیپور<sup>۲</sup>**

۱- گروه برق- قدرت، دانشکده فنی، واحد شبستر، دانشگاه آزاد اسلامی، شبستر، ایران

۲- داشیار گروه رشته برق - قدرت، دانشگاه آزاد اسلامی، واحد شبستر، ایران

\*نویسنده مسئول:

### خلاصه

در این مقاله سه دستگاه مختلف برای سیستم هدایت آسانسور بررسی شده است کنترل کننده PID که سریع است اما پاسخ آن به طور قابل ملاحظه ای تحت تاثیر اختلالات خارجی است. کنترل کننده مناسب برای هدایت آسانسور باید راحت باشد و ایمنی مسافران را تضمین کند یعنی دارای پاسخ سریع و بدون نوسان باشد که SMC روشی است که می تواند تعادل مناسب را حفظ کند و بسیار قوی و مستحکم است و میتواند در مقابل اختشاشات به سرعت پاسخ دهد. معرفی کنترل کننده برای سیستم هدایت مائلو از طریق شبیه سازی انجام شده در محیط سیمولیک مطلب بررسی شده است.

**کلمات کلیدی:** آسانسور بدون کابل، کنترلر مدل لغزشی

### مقدمه

مоторهای خطی نسل جدیدی از ماشین‌های الکتریکی هستند که در آن‌ها نیرو و حرکت خطی بدون واسطه مکانیکی و به طور مستقیم توسط میدان الکترومغناطیسی تولید می‌شود. امروزه در میان محرکه‌های الکتریکی در صنایع تولیدی دقیق موتور سنکرون خطی مغناطیسی دائم (PMLSM) به طور گسترده استفاده می‌شود [۱] احتمالاً این موتورها مناسب‌ترین انتخاب برای کاربردهای کنترل حرکت با سرعت و دقت بالا می‌باشند. یکی از کاربردهای موتورهای خطی در آسانسورها از جمله آسانسورهای بدون کابل است که امروزه در آسمان‌خراش‌های بزرگ کاربرد دارند به دلیل تعمیر و نگهداری آسانتر و سر و صدای ایجاد شده کمتر (به دلیل نداشتن تماس مکانیکی بین کابین و ریل) و همچنین امکان استفاده از چندین کابین در داخل یک تونل بسیار مورد توجه قرار گرفته‌اند [۲].

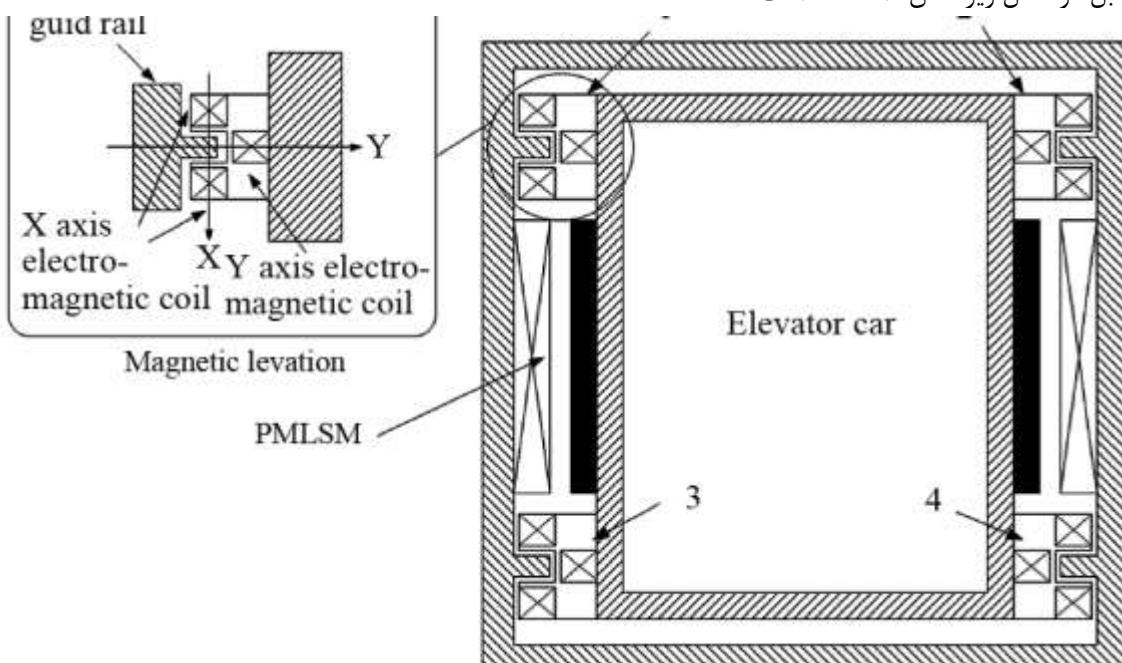
هدایت کابین با استفاده از ریل برای هدایت کابین و وزنه تعادل در حرکت عمودی و حداقل کردن حرکات افقی جلوگیری از نوسانات کابین بعلت نیروهای خارج از مرکز توقف و نگه داشتن کابین در هنگام عملکرد مکانیزم ایمنی است.

\* Corresponding author: حسن علیپور

Email: Hasan.alipour2006@gmail.com

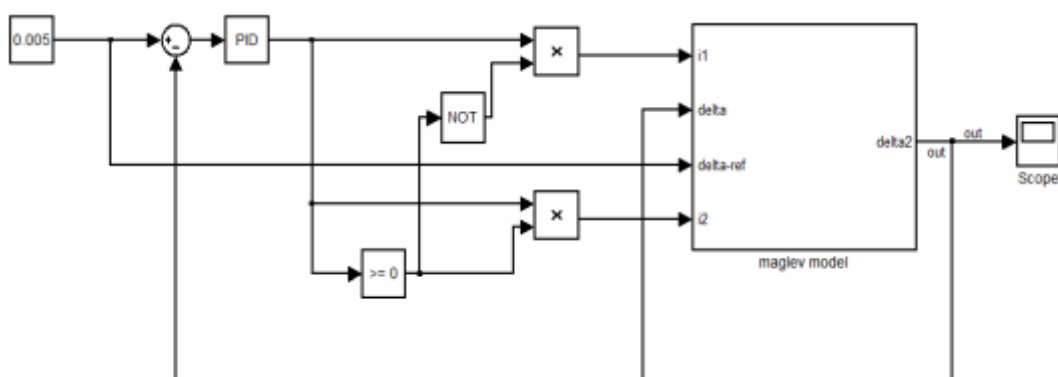
در آسانسورها معمولاً برای کنترل و هدایت از "Sliding MODE" PID استفاده می‌شود که هر کدام مزایا و معایبی دارند.

کنترلر PID سریع است اما تحت تأثیر اختلالات خارجی است و بر عکس آن، اسلاید مود قوی و مستحکم است. اما در شرایط نامناسب به صورت زودگذر عمل می‌کند چون کنترل قابل قبول برای سیستم هدایت آسانسور باید براساس تضمین ایمنی و راحتی مسافران است در نتیجه پاسخگویی سیستم باید سریع و مستحکم و بدون خطأ و نوسان باشد که این‌ها باعث شد از کنترلر PID استفاده شود که شکل سیستم هدایت پیشنهادی برای آسانسور خطی بدون کابل در شکل زیر نشان داده شده است.



شکل ۱: شماتیک آسانسور خطی

### معرفی سیستم PID



شکل ۲: شماتیک سیستم PID

# مهندسی برق

با مجوز شماره ۱۶۷۲۸۴۶۰ از وزارت علوم، تحقیقات و فناوری

تیر ماه ۱۳۹۶

International Conference on Fundamental Research in Electrical Engineering

کلی روش کنترلی مد لغزشی یک روش کنترلی غیرخطی است که قادر به کنترل سیستم حتی زمانی که مدل دقیقی از سیستم در دست نباشد است. ایده اساسی در این روش این است که کنترل یک سیستم درجه یک خیلی ساده‌تر از کنترل سیستم با درجات بالاتر است. در این روش سعی بر آن است که سیستم درجه  $n$  را به یک سیستم درجه یک تبدیل کرد به شرط آن که که با پایدار سازی این سیستم درجه یک پایداری سیستم اصلی تضمین گردد. تبدیل یک سیستم درجه  $n$  به سیستم درجه یک از طریق تعریف سطح لغزش ممکن می‌شود.

اگر دینامیک سیستم را به صورت زیر بتوان نوشت

$$x^{(n)} = f(x) + b(x)u \quad (1)$$

که  $x$  متغیرهای حالت و  $u$  ورودی کنترلی است. اگر بردار خطای  $\tilde{x}$  را به صورت زیر تعریف کنیم

$$\tilde{x} = x - x_d \quad (2)$$

که  $x_d$  مقدار مطلوب برای متغیرهای حالت سیستم است.

حال اگر سطح متغیر با زمان  $(t)$  به این صورت تعریف کنیم

$$s(x, t) = \left( \frac{d}{dt} + \lambda \right)^{n-1} \tilde{x} \quad (3)$$

اگر بتوان این سطح لغزش را در  $\cdot$  پایدار کرد در این صورت خطای  $\tilde{x}$  و مشتقهای آن به سمت صفر همگرا خواهد شد و اگر خطای  $\tilde{x}$  در لحظه اول صفر باشد در بقیه لحظات نیز روی  $\cdot$  تثبیت خواهد شد. اگر نتوان سطح لغزش را به صفر رساند ولی بتوان مقدار آن را محدود کرد در این صورت مقدار خطای نیز محدود خواهد بود یعنی اگر

$$\forall t \geq 0, |s(t)| \leq \phi \Rightarrow \forall t \geq 0, |\tilde{x}^{(i)}(t)| \leq (2\lambda)^i \in \quad (4)$$

که

$$\phi = \frac{\phi}{\lambda^{n-1}} \quad (5)$$

برای اینکه تضمین شود سطح لغزش به سمت صفر همگرا خواهد شد باید شرط لغزش زیر برقرار گردد

$$\frac{1}{2} \frac{d}{dt} s^2 \leq -\eta |s| \quad (6)$$

این نامعادله نشان می‌دهد که مجدور فاصله نسبت به سطح لغزش پیوسته در حال کاهش خواهد بود و این تضمین می‌کند تا سطح در نهایت به صفر برسد و در سطح صفر باقی بماند. زمان رسیدن به سطح صفر را از طریق رابطه زیر می‌توان محاسبه کردد

$$t_{reach} \leq \frac{s(t=0)}{\eta} \quad (7)$$

بنابراین مسئله کنترل یک سیستم درجه  $n$  تبدیل به کنترل سطح لغزش شده است. اما در معادله این سطح لغزش اثری از ورودی  $u$  وجود ندارد برای ظاهر شدن  $u$  در معادله از سطح لغزش یک بار مشتق می‌گیریم و سیگنال کنترلی را طوری انتخاب می‌کنیم تا مشتق  $s$  برابر صفر گردد زیرا که تا زمانی که روی سطح لغزش  $s=0$  هستیم مقدار  $s$  تغییر نمی‌کند بنابراین باید یا استفاده از سیگنال ورودی مانع از تغییرات سطح لغزش شد. و با برآورده شدن شرط لغزش این اطمینان وجود دارد که  $s(t)$  به سطح صفر خواهد رسید و روی این سطح باقی خواهد ماند. این مراحل را برای یک سیستم درجه ۲ می‌توان به ترتیب زیر اجرا کرد.

اگر سیستم درجه ۲ به صورت معادله دینامیکی زیر باشد

$$\ddot{x} = f + u \quad (8)$$

و دینامیک  $f$  به صورت دقیق مشخص نباشد ولی بتوان آن را با  $\hat{f}$  تقریب زد به طوری که خطای حاصل از این تقریب از تابع معلوم  $F$  کوچکتر باشد به عبارت دگر

$$|\hat{f} - f| \leq F \quad (9)$$

سطح لغزش را به صورت زیر تعریف می کنیم

$$s(x, t) = \left( \frac{d}{dt} + \lambda \right) \tilde{x} = \dot{\tilde{x}} + \lambda \tilde{x} \quad (10)$$

اگر از این رابطه مشتق بگیریم تا  $u$  در معادله سطح ظاهر شود بدست خواهد آمد:

$$\dot{s} = \ddot{x} - \ddot{x}_d + \lambda \dot{\tilde{x}} = f + u - \ddot{x}_d + \lambda \dot{\tilde{x}} \quad (11)$$

بهترین تقریب برای ورودی که بتواند مشتق  $s$  را به صفر برساند به صورت زیر است

$$\hat{u} = -\hat{f} + \ddot{x}_d - \lambda \dot{\tilde{x}} \quad (12)$$

حال برای این که شرط لغزش نیز براورده شود یک ترم گسسته نیز به ورودی  $\hat{u}$  اضافه می شود

$$u = \hat{u} - k \operatorname{sgn}(s) \quad (13)$$

که تابع  $\operatorname{sgn}$  به صورت زیر تعریف می شود

$$\operatorname{sgn}(s) = +1 \quad \operatorname{sgn}(s) = +1 \quad (14)$$

$$\operatorname{sgn}(s) = -1 \quad \operatorname{sgn}(s) = -1$$

$$s > 0 \text{ if}$$

$$s < 0 \text{ if}$$

حال برای اینکه شرط لغزش براورده بشود می توان نوشت

$$\frac{1}{2} \frac{d}{dt} s^2 = \dot{s} \cdot s = [f - \hat{f} - k \operatorname{sgn}(s)]s = (f - \hat{f})s - k|s| \quad (15)$$

بنابراین با انتخاب  $k \geq F + \eta$  شرط لغزش براورده خواهد شد.

نتایج مشابه بالا برای حالتی که از کنترلر انگرالی استفاده شود بدست خواهد آمد.

$$s = \left( \frac{d}{dt} + \lambda \right)^2 \left( \int_0^t \tilde{x} dr \right) = \dot{\tilde{x}} + 2\lambda \tilde{x} + \lambda^2 \int_0^t \tilde{x} dr \quad (16)$$

در این صورت سیگنال کنترلی به صورت زیر بدست می آید

$$\hat{u} = -\hat{f} + \ddot{x}_d - 2\lambda \dot{\tilde{x}} - \lambda^2 \tilde{x} \quad (17)$$

برای اینکه  $s(t=0) = 0$  شود می توان  $s$  را چنین تعریف کرد

$$s = \dot{\tilde{x}} + 2\lambda \tilde{x} + \lambda^2 \int_0^t \tilde{x} dr - \tilde{x}(0) - 2\lambda \tilde{x}(0) \quad (18)$$

# مهندسی برق

با مجوز شماره ۱۶۷۲۸۴۶۰ از وزارت علوم، تحقیقات و فناوری

تیر ماه ۱۳۹۶

International Conference on Fundamental Research in Electrical Engineering

## شبیه‌سازی و نتایج PID

با افزایش روزافزون ساختمان‌ها نیاز به ساخت سیستم آسانسور با سرعت بالا و کمترین نوسان عمودی و افقی و سر و صدا و محدودیت طول کابل و بهره‌وری پایین مطرح است که ما در این پایان‌نامه آسانسور بدون کابل با نیروی محرکه موتور خطی و الکترومغناطیسی سیستم هدایت را در نظر گرفته‌ایم و فاصله هوایی موتور خطی آسانسور را با دستکاری سیستم هدایت می‌توان تنظیم کرد [۳].

در ابتدا به بررسی، کنترل کننده PID که روش پیشنهادی نیرومند و گذرا است و بسیار ساده است و نیاز به ریاضیات پیچیده ندارد به همین علت به راحتی در کاربردهای واقعی استفاده می‌شود. معادله دینامیکی آن را مشاهده می‌کنید.

قانون دوم نیوتن  $m\ddot{\delta}(t) = f_k(\delta) - f(i, \delta) + f_D(t)$  که  $\delta$  طول شکاف هوا و  $\dot{\delta}$  دیفرانسیل دوم فاصله هوایی و  $f_k$  نیروی الکترومغناطیسی و  $f_D$  نیروی محرک مخالف است. از آنجا که مقاومت مغناطیسی آهنربای الکتریکی و هدایت راه آهن ناچیز است. مدار قطب‌های الکترومغناطیسی و هدایت راه آهن در فاصله هوایی بین آن‌ها متمرکز شده است.

$$R = \frac{\delta}{\mu_0 A} \quad \text{که } \mu_0 \text{ نفوذپذیری خلاء و } A \text{ فاصله مقطع هوایی}$$

$$F(i, \delta) = \frac{\mu_0 A N^2 i^2(t)}{4\delta^2(t)} \quad (19)$$

نیروی کشیدن که  $N$  تعداد نوبت سیم‌پیچی‌ها و  $i(t)$  جریان

$$u(t) = ri(t) + \frac{\mu_0 A N^2}{2\delta(t)} \frac{di(t)}{df} - \frac{\mu_0 A N^2 i(t)}{2\delta^2(t)} \frac{d\delta(t)}{dt} \quad (20)$$

ولتاژ تجهیزات در نتیجه مدل ریاضی سیستم تجهیزات الکترومغناطیسی به شرح زیر است:

$$\left\{ \begin{array}{l} m\ddot{\delta}(t) = F_k(\delta) - F(i, \delta) + F_D(t) \\ F(i, \delta) = \frac{ki^2(t)}{\delta^2(t)}, \quad F_k(\delta) = \frac{k'}{4(2\delta_{ref} - \delta(t))^2} \\ u(t) = ri(t) + \frac{\mu_0 A N^2 di(t)}{2\delta(t)} - \frac{\mu_0 A N^2 i(t)d\delta(t)}{2\delta^2(t)} \frac{d\delta(t)}{dt} \end{array} \right\} \quad (21)$$

$$k = \frac{(\mu_0 A N^2)}{4} \quad \text{که مقدار}$$

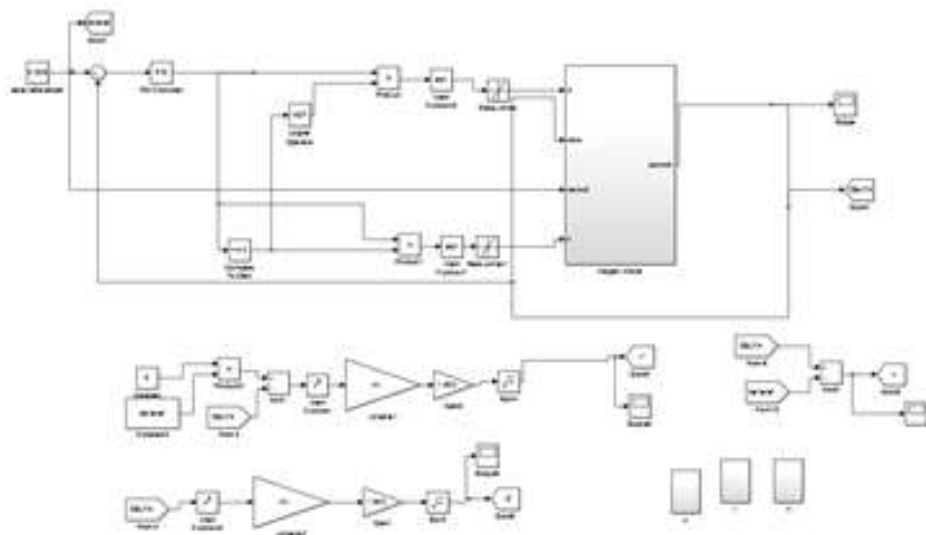
که شکل کنترلر PID را مشاهده می‌کنید و نتایج خروجی PID که شامل Delta out و Delta in و Delta ref و جریان  $i_1$  و  $i_2$  در زیر مشاهده می‌شود.

# مهندسی برق

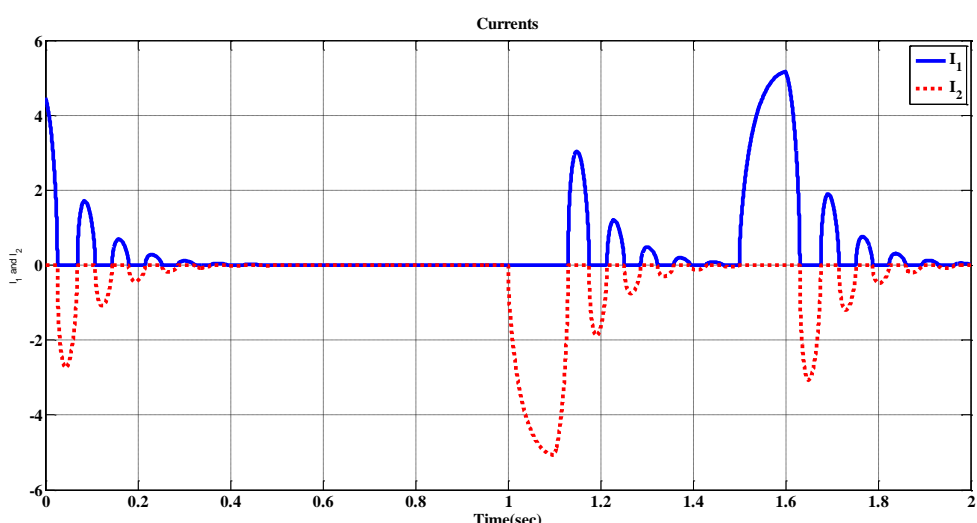
با مجوز شماره ۱۹۷۲۸۴۶۰ از وزارت علوم، تحقیقات و فناوری

تیر ماه ۱۳۹۶

International Conference on Fundamental Research in Electrical Engineering



شکل ۳. شبیه سازی PID در نرم افزار متلب



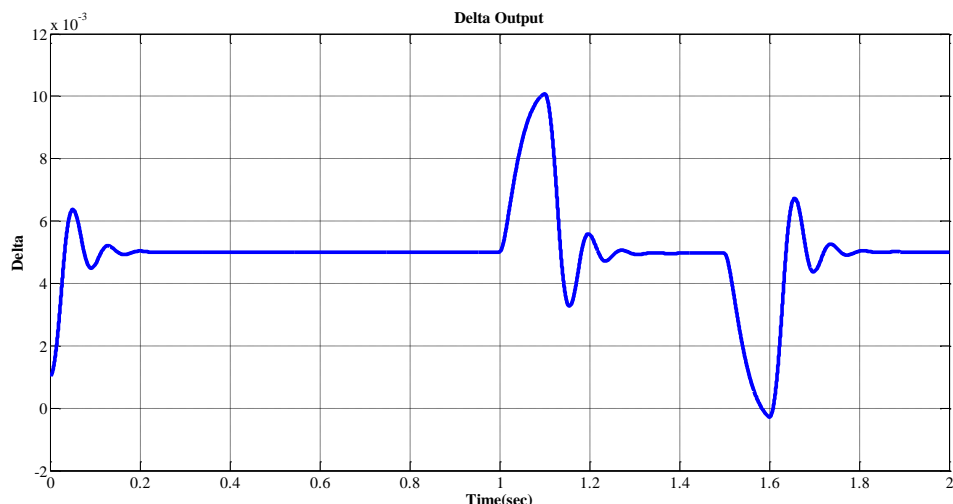
شکل ۴: جریان I<sub>1</sub> و I<sub>2</sub>

# مهندسی برق

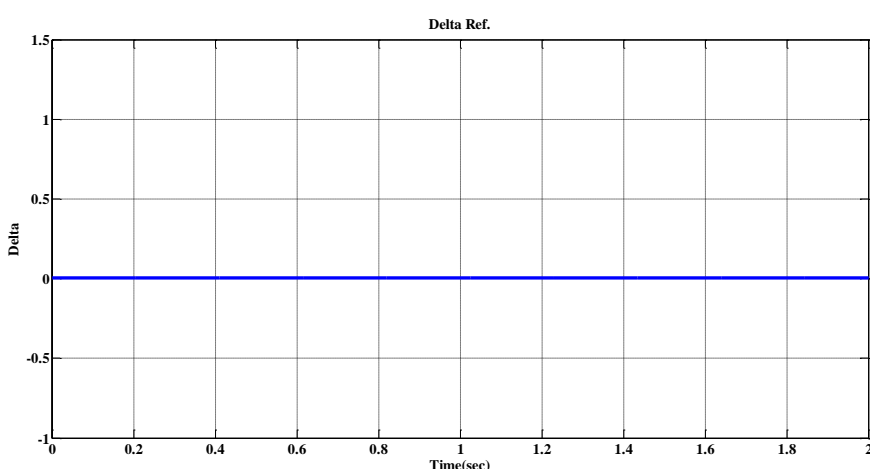
با مجوز شماره ۱۶۷۲۸۴۶۰ از وزارت علوم، تحقیقات و فناوری

تیر ماه ۱۳۹۶

International Conference on Fundamental Research in Electrical Engineering



شکل ۵: دلتای خروجی



شکل ۶: دلتای رفرنس

که در این مقاله به جای درخواست دارای ولتاژ سیگنال به عنوان مرجع مقدار کنترل به سیستم هدایت اعمال می‌شود. جریان‌های  $I_1$  و  $I_2$  به عنوان ورودی اعمال می‌شوند و نتیجه می‌گیریم که PID به طور قابل توجهی تحت تأثیر اختلال و نیروی خارجی است که با اعمال مقادیر موجود در جدول و پارامترهای مختلف سیستم قوی‌تر می‌شود زمان نمونه برداری در شبیه‌سازی ۲ ثانیه قرار داده شده است.

جدول (۱): پارامترهای لازم برای سیستم هدایت آسانسور بدون کابل

پارامتر	شماره ترن	مساحت
اسم	M	A
جرم آسانسور	500 kg	
شماره ترن	N	
		0.65 × 0.65 m <sup>2</sup>

# مهندسی برق

با مجوز شماره ۱۶۷۲۸۴۶۰ از وزارت علوم، تحقیقات و فناوری

تیر ماه ۱۳۹۶

International Conference on Fundamental Research in Electrical Engineering

0 mm	$\delta_0$	مقدار اولیه دلتا
5 mm	$\delta_{ref}$	دلتای رفرنس
50 N	$F_D$	نیروی اختلال خارجی

## معرفی سیستم SMC [۴]

SMC: روش کنترل غیرخطی است که سیستم کنترل می‌تواند حتی زمانی که مدل دقیق ریاضی وجود ندارد کارآمد باشد. بدیهی است که کنترل سیستم با یک رشته ساده‌تر از سیستم با درجه  $n$  است از این رو روش SMC تلاش می‌کند تا به درجه  $n$  سیستم کنترل برسد.

$$x^{(n)} = f(x) + b(x)u \quad (22)$$

که در آن  $x$  حالت متغیر و کنترل ورودی است.

$$s(x, t) = \left[ \frac{d}{dt} + \lambda \right]^{n-1} \bar{x} \quad (23)$$

که  $\lambda$  پارامتر ثابت محدود است.

$$\bar{x} = x - x_{ref} \quad (24)$$

اثر SMC شامل دو بخش است یک قسمت اثر کنترل معادل و دیگری قادر به تغییر کنترل اثر است. عدم اطمینان از سیستم‌ها با تعویض اثر کنترل می‌شود که این سیستم قوی و نیرومند است. دیفرانسیل ( $\delta$ ) در صفر مناسب سیگنال ورودی حفظ می‌شود.

$$u = \hat{u} - k \operatorname{sgn}(s) \quad (25)$$

که در آن  $u$  ورودی کنترل سیستم  $\hat{u}$  سیگنال کنترل برای سیستم است.  
که در آن  $k$  ضریب متغیر و  $\operatorname{sgn}$  تابع علامت است.

در این روش سیگنال ورودی شامل دو بخش است قسمت اول اطمینان سیستم کنترلی و یکی دیگر سیگنال سوئیچینگ است که به عدم اطمینان از سیستم تنظیم شده است.

$$\frac{ds}{dt} = \frac{k}{m} \left[ \frac{u_1(t)}{(2\delta_{ref} - \delta(t))^2} - \frac{u_2(t)}{\delta^2} + F_D \right] + 2\lambda \frac{d\delta_{error}}{dt} + \lambda^2 \delta_{error} = 0 \quad (26)$$

با حل معادله به رابطه‌ی  $f(\delta)u_1 + g(s)u_2 = -2\lambda\tilde{x} - \lambda^2\tilde{x} - \frac{k}{m}fD$  می‌رسیم

$$fu_1 + gu_2 = -\lambda^2\tilde{x} - 2\lambda^2\tilde{x} \quad (27)$$

$$f(\delta) = \frac{k}{m} \frac{1}{(2\delta_{ref} - \delta)^2} \quad (28)$$

$$g(\delta) = -\frac{k}{m\delta^2} \quad (29)$$

برای اینکه قدر مطلق و دامنه‌ها را به دست آوریم اسم تابع را  $j$  می‌گذاریم و به توان ۲ می‌رسانیم و چون معادله‌ی نهایت جواب دارد و ما می‌خواهیم جواب‌های محدود به دست آوریم  $j_{min}$  را با شرط  $u_1, u_2 > 0$  می‌گذاریم و هر کدام که مقدارش منفی شد به جایش صفر اعمال می‌شود

$$j_{min} = u_1^2 + u_2^2 \quad u_1, u_2 > 0 \quad (30)$$

# مهندسی برق

با مجوز شماره ۱۶۷۲۸۴۶۰ از وزارت علوم، تحقیقات و فناوری

تیر ماه ۱۳۹۶

International Conference on Fundamental Research in Electrical Engineering

$$u_1 = \frac{fy}{f^2 + g^2} \quad u_2 = \frac{gy}{f_2 + g^2} \quad (31)$$

$$\hat{i}_1 = \sqrt{\hat{u}_1} \quad \hat{i}_2 = \sqrt{\hat{u}_2} \quad (32)$$

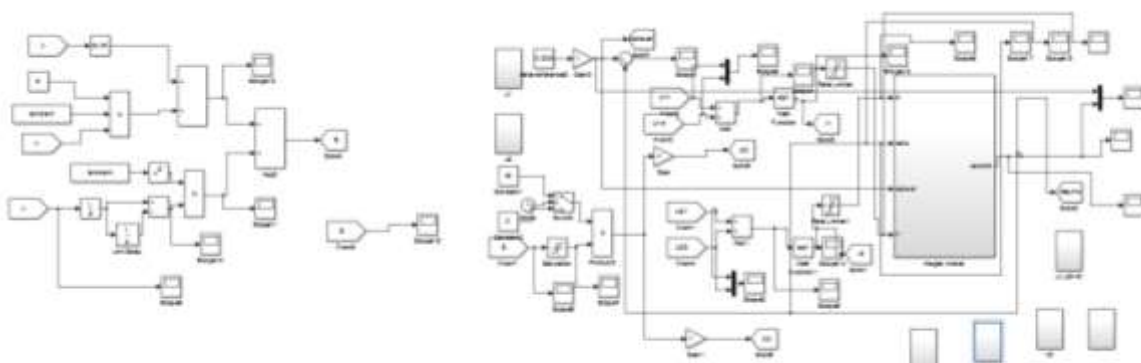
مقدار  $\hat{u}_1$  و  $\hat{u}_2$  باید در نهایت به یکتابع ساین ضرب شوند و چون چیزهایی که به دست آمده است  $\hat{u}_1$  و  $\hat{u}_2$  حدی است.

$$u_1 = \hat{u}_1 \pm k \operatorname{sgn}(s) \quad (33)$$

$$u_2 = \hat{u}_2 \pm k' \operatorname{sgn}(s) \quad (34)$$

همان طور که در شکل مشاهده می‌شود نتایج خروجی برای SMC در ۴ حالت مختلف با اعمال اغتشاش خارجی (پالس) و بدون اعمال اغتشاش (بدون پالس) و با مقدار  $kk = 100$  و مقدار  $kk = 500$  به دست آمده است.

که نتایج حاکی از آن است که کنترل کننده قوی و در صورت بروز اختلال می‌تواند به سرعت آن را پاسخ دهد و به همین علت نقش مهمی در ایمنی و راحتی مسافران دارد.



شکل ۷: شبیه‌سازی SMC د رمتلب

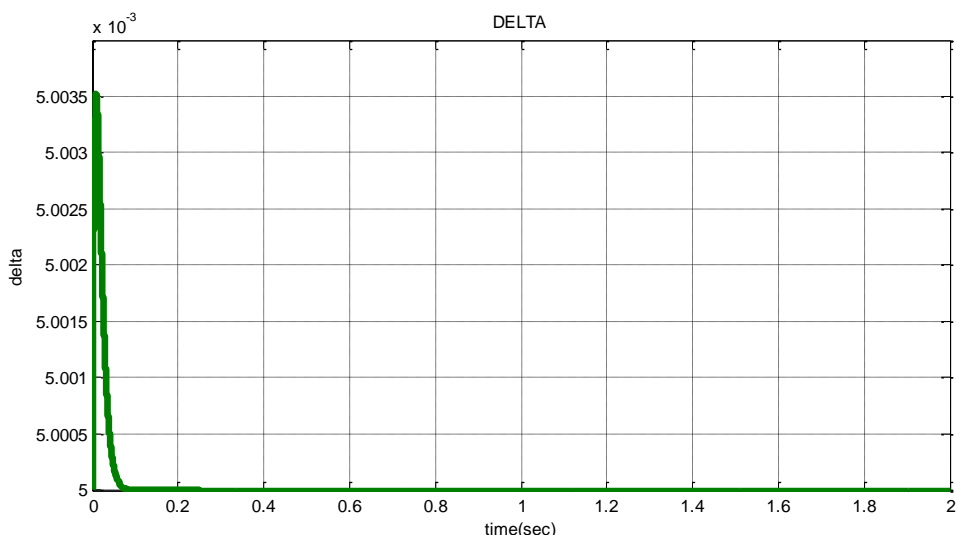
# مهندسی برق

با مجوز شماره ۱۹۷۲۸۴۶۰ از وزارت علوم، تحقیقات و فناوری

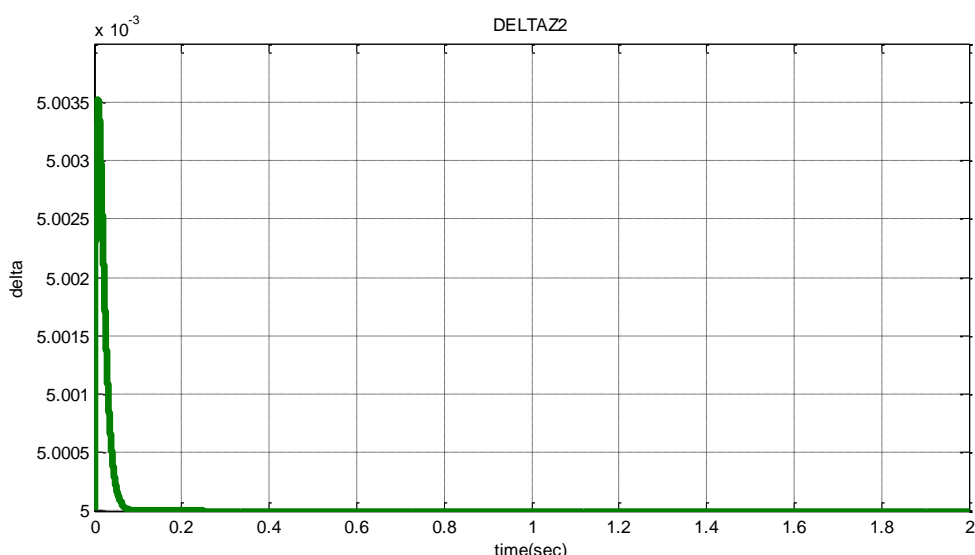
تیر ماه ۱۳۹۶

International Conference on Fundamental Research in Electrical Engineering

نمودارهای SMC بدون اعمال پالس و  $kk=100$



شکل ۸: شکل دلتا



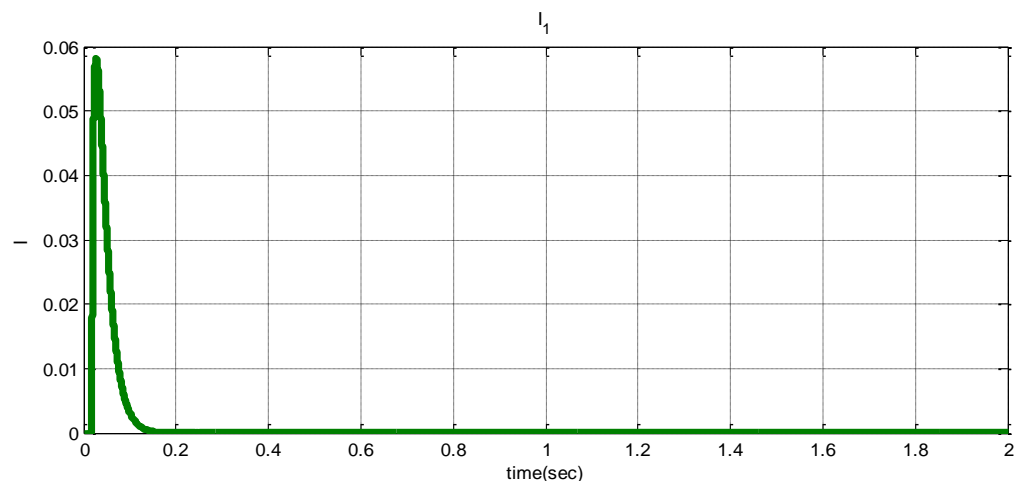
شکل ۹: شکل دلتای خروجی

# مهندسی برق

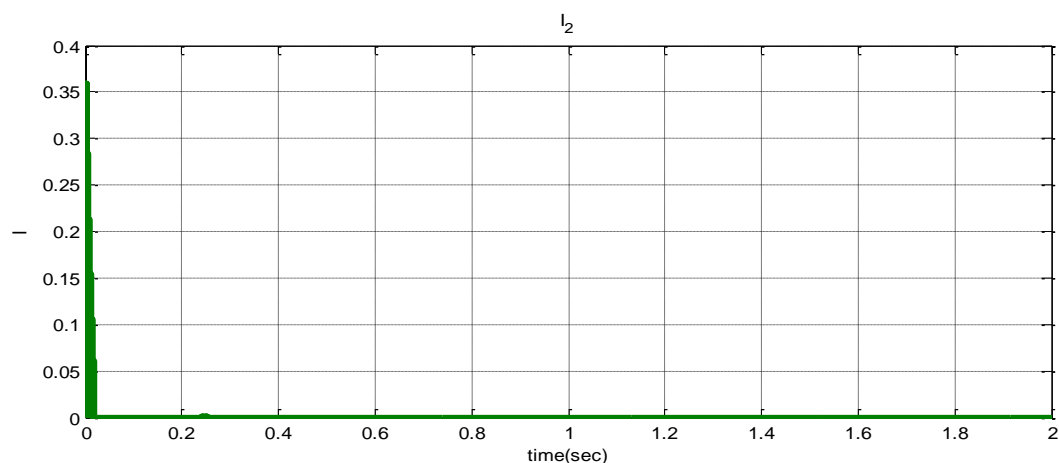
با مجوز شماره ۱۹۷۲۸۴۶۰ از وزارت علوم، تحقیقات و فناوری

تیر ماه ۱۳۹۶

International Conference on Fundamental Research in Electrical Engineering

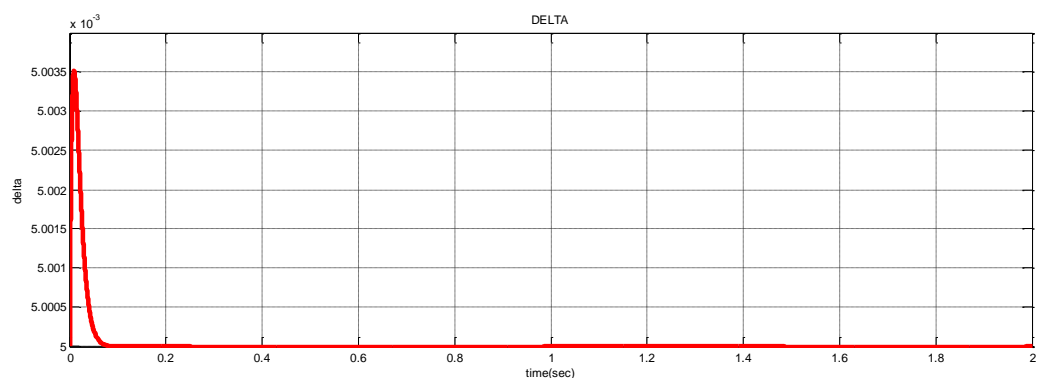


شکل ۱۰: شکل  $i_1$



شکل ۱۱: شکل  $i_2$

نمودارهای SMC بدون اعمال پالس و  $kk=500$ :



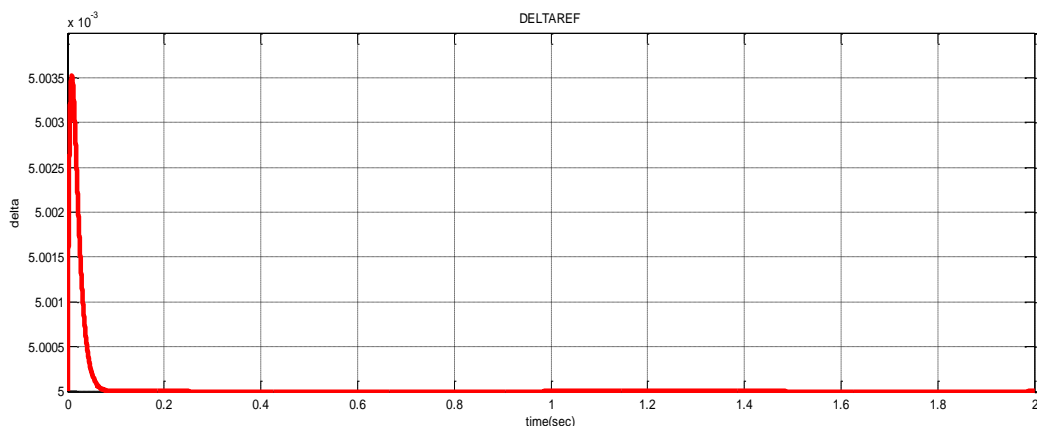
شکل ۱۲: شکل دلتا

# مهندسی برق

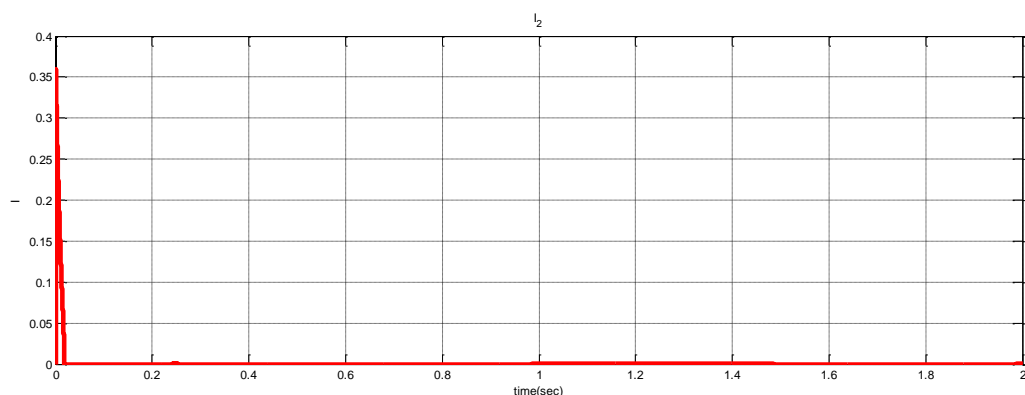
با مجوز شماره ۱۹۷۲۸۴۶۰ از وزارت علوم، تحقیقات و فناوری

تیر ماه ۱۳۹۶

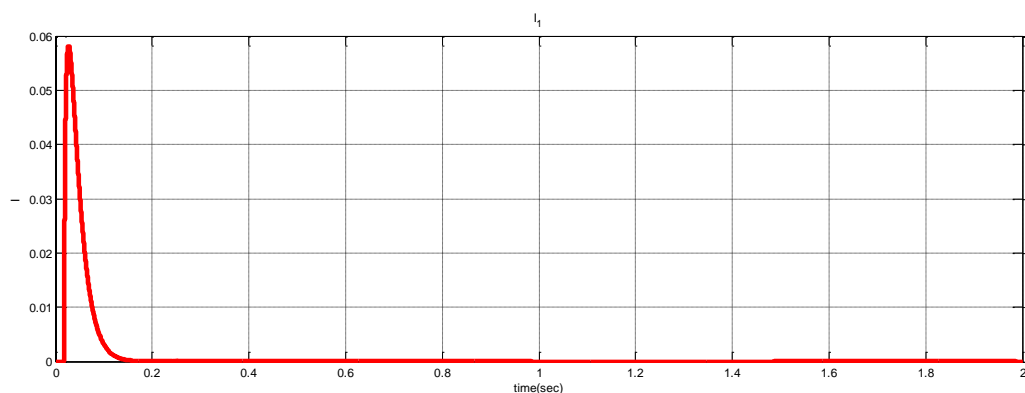
International Conference on Fundamental Research in Electrical Engineering



شکل ۱۳: شکل دلتای رفنس



شکل ۱۴: شکل  $I_2$



شکل ۱۵: شکل  $I_1$

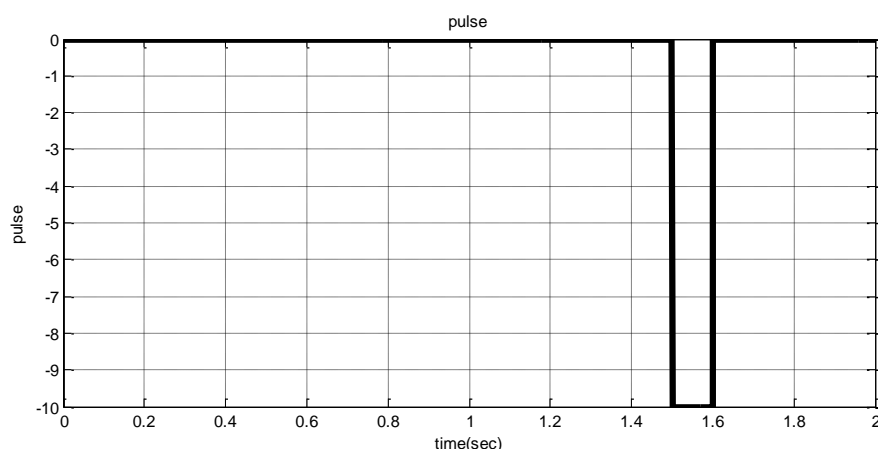
# مهندسی برق

با مجوز شماره ۱۹۷۲۸۴۶۰ از وزارت علوم، تحقیقات و فناوری

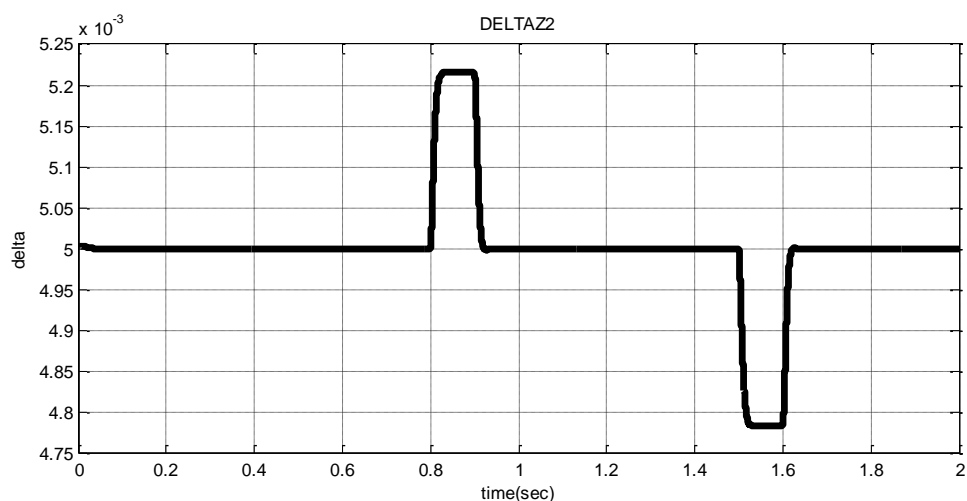
تیر ماه ۱۳۹۶

International Conference on Fundamental Research in Electrical Engineering

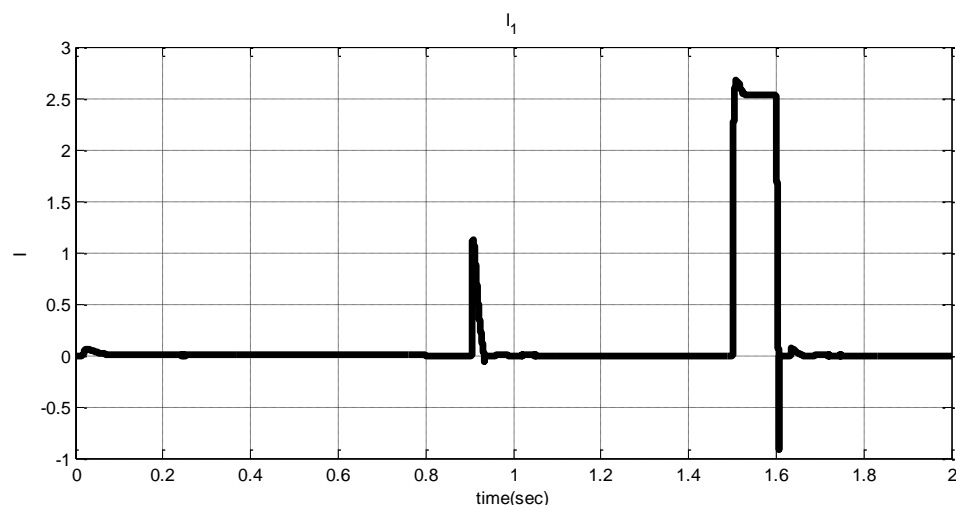
نمودارهای SMC با اعمال پالس و  $kk=100$



شکل ۱۶: شکل پالس



شکل ۱۷: شکل دلتای خروجی



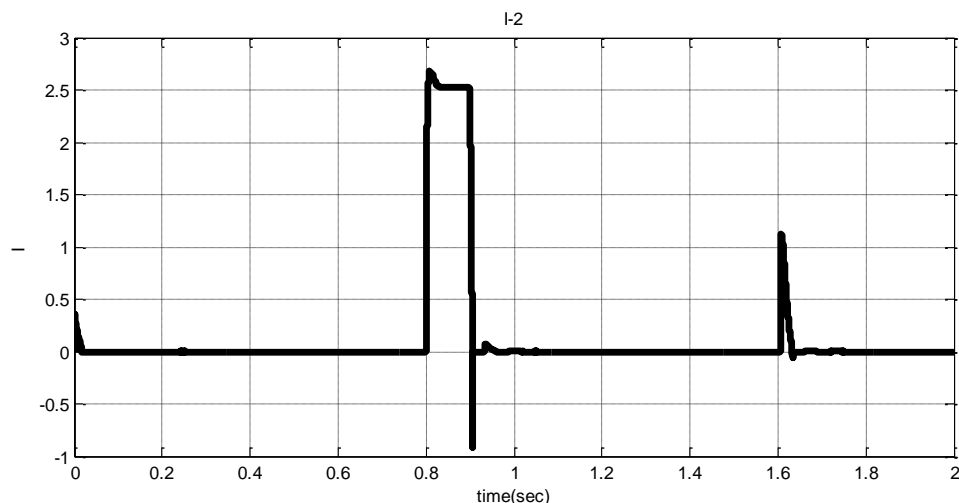
شکل ۱۸: شکل  $i_1$

# مهندسی برق

با مجوز شماره ۱۹۷۲۸۴۶۰ از وزارت علوم، تحقیقات و فناوری

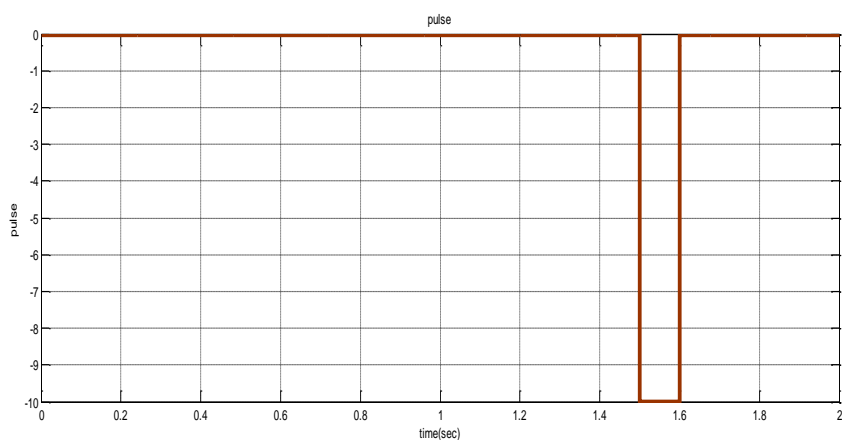
تیر ماه ۱۳۹۶

International Conference on Fundamental Research in Electrical Engineering



شکل ۱۹: شکل  $i_2$

نمودارهای SMC با اعمال پالس و  $kk=500$ :



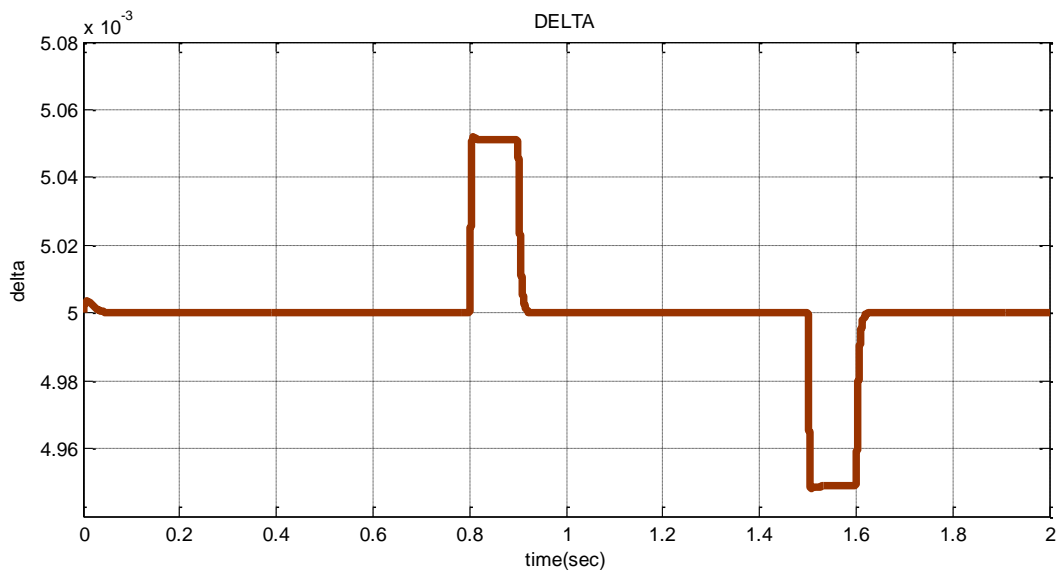
شکل ۲۰: شکل پالس

# مهندسی برق

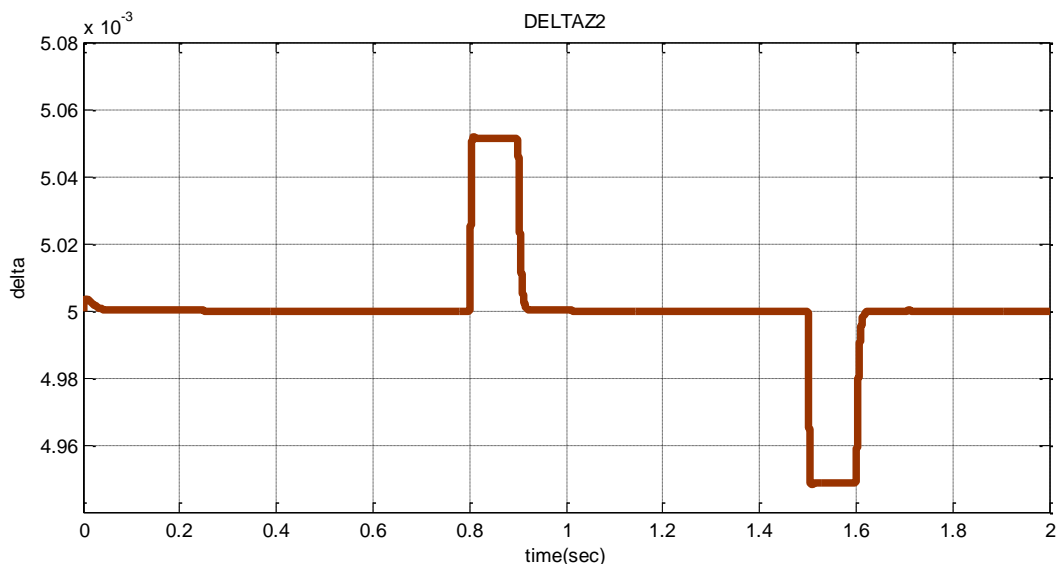
با مجوز شماره ۱۹۷۲۸۴۶۰ از وزارت علوم، تحقیقات و فناوری

تیر ماه ۱۳۹۶

International Conference on Fundamental Research in Electrical Engineering



شکل ۲۱: شکل دلتا



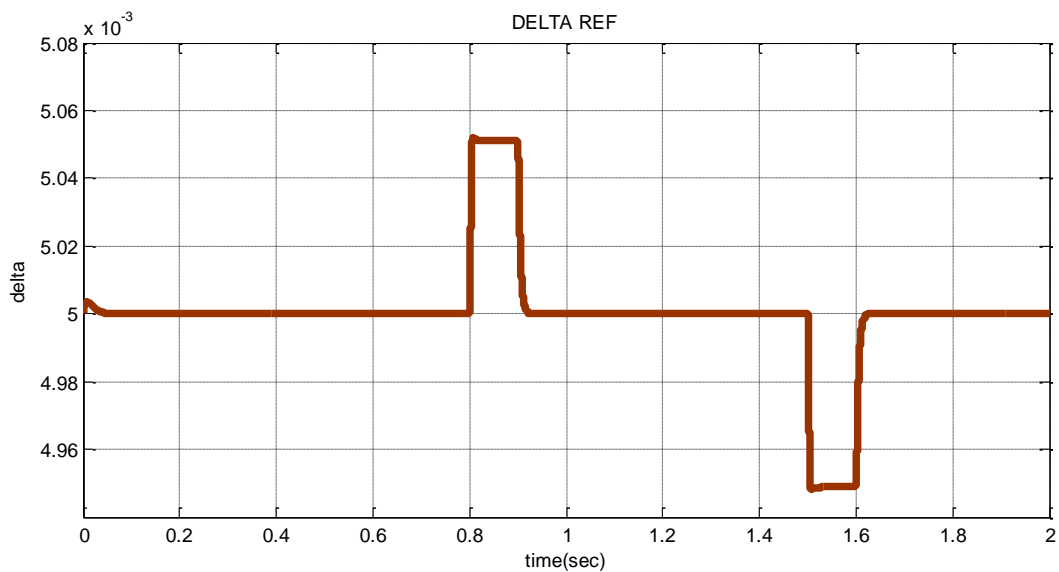
شکل ۲۲: شکل دلتای خروجی

# مهندسی برق

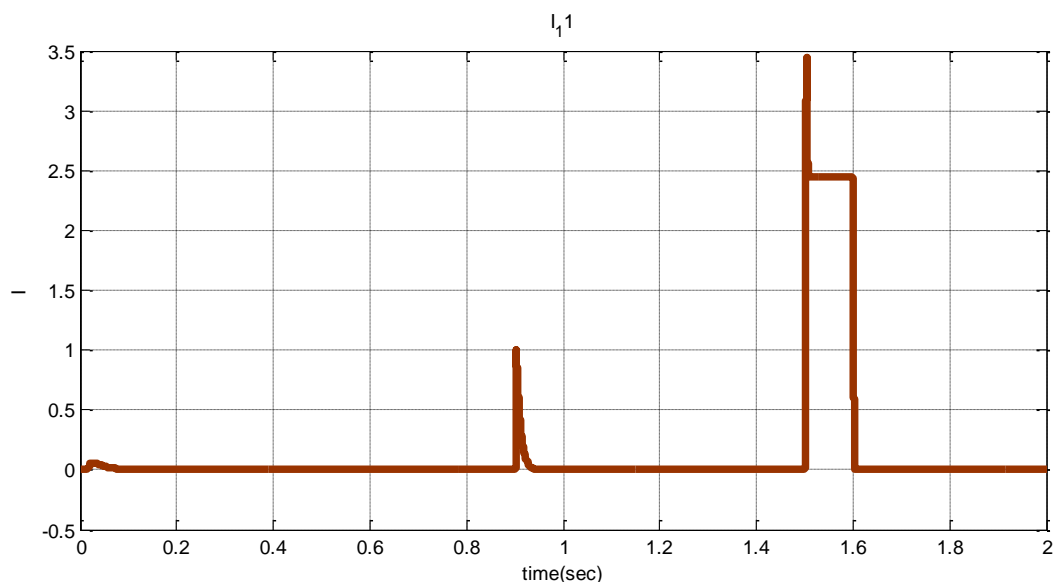
با مجوز شماره ۱۹۷۲۸۴۶۰ از وزارت علوم، تحقیقات و فناوری

تیر ماه ۱۳۹۶

International Conference on Fundamental Research in Electrical Engineering



شکل ۲۳: شکل دلتای رفرنس



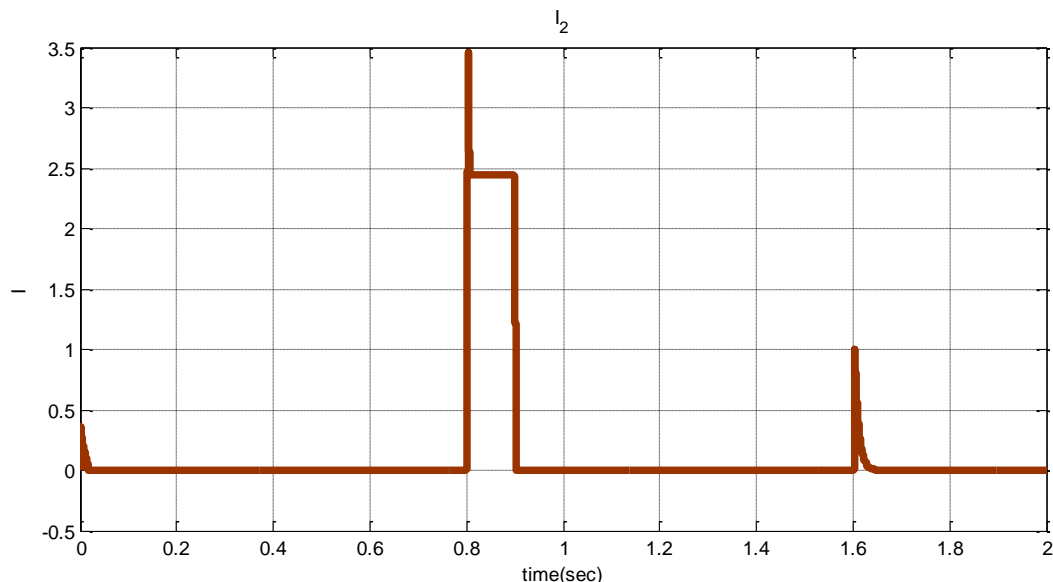
شکل ۲۴: شکل  $i_1$

# مهندسی برق

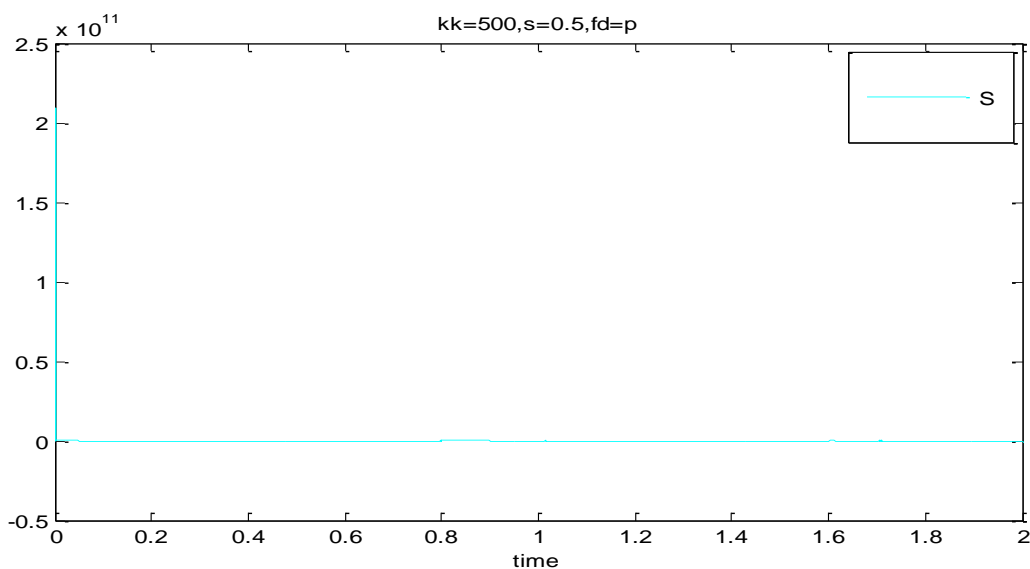
با مجوز شماره ۱۶۷۲۸۴۶۰ از وزارت علوم، تحقیقات و فناوری

تیر ماه ۱۳۹۶

International Conference on Fundamental Research in Electrical Engineering



شکل ۲۵: شکل ۲



شکل ۲۶: شکل سطح لغزش

نتیجه‌گیری کلی:

روش‌های گفته شده بسیار ساده و قابل اجرا هستند PID کنترل کننده قوی ندارد ولی حالت کشویی آن می‌تواند بسیار قوی باشد کنترل کننده SMC تعادل مناسب را می‌تواند حفظ کند بسیار قوی و متکلم است و می‌تواند در مقابل اعمال اغتشاش به سرعت پاسخ دهد. به همین علت در کاربردهایی مانند آسانسورهای بدون کابل بسیار مناسب است.

## مراجع

- 1.T. H. Liu, Y. C. Lee, and Y. H. Change, "Adaptive controller design for a linear motor control system," IEEE Trans, Aerosp. Electron. Syst., vol. 40, no. 2, pp. 601-616, Apr. 2005.
- 2.Oriental Motor, [Online Document]. [Accessed 17 April 2009]. Available at <http://www.orientalmotor.com.my/support/request.php>.
- 3.Y. S. Kung, "Design and implementation of a high- performance PMKSM drives using DSP chip," IEEE Trans, Ind. Electron., vol. 55, no. 3, pp. 1341-1351, Mar. 2008.
- 4.L. N. Tutelea, M. C. Kim, M. topor, J. Lee, and L. Boldea, (2008)."Linear permanent magnet oscillatory machine: Comprehensive modeling for transients with validation by experiments," IEEE Trans. Ind. Electron., vol. 55, no. 2, pp.492-500, Feb. 2008.